

III-20 砂地盤における横方向地盤反力分布の実験とその考察

運輸省港湾技術研究所 正会員 松並仁彦

○ 荘司喜博

若葉建設(株)

稻田満則

①. まえがき —杭の挙動解明の基本ともいべき横方向地盤反力に関しては幾多の研究がなされてきている。そのようななかで杭に取付けた土圧計の測定値をもとにしたアプローチは難しいようであり、とりわけ杭幅方向の平面分布をとらえようとした例は多くないようである。この度、H鋼(H-400×400×13×21)を加工し土圧計を取り付けた長さ1mの試験杭を室内の模型地盤にててこみ、水平載荷(最大荷重500kgf)を行い地盤反力分布をとらえようと試みたのでその結果について報告する。

②. 実験装置および実験内容 — 試験杭には土圧計取付部13ヶ所(図-1参照)に円孔を開けた厚さ12mmの鋼板を接着してある。土圧計は直径30mm、容量2kgf/cm²のものであり、受圧面が鋼板表面と同一平面となるように、H鋼本体に接着固定してある。又、リード線は、鋼板のH鋼本体側をくりぬいた深さ6mmの切欠き溝を通り、鋼板端部から引き出されている。使用された砂は、乾燥した高嶺砂で、比重2.668、有効径0.35mm、均等係数2.11のものである。模型地盤の作成は、試験杭を実験土槽内の、コンクリートブロックで支持されたH鋼(H-200×200×12×12)の上に設置した状態で砂を搬入し、厚さ20cm毎に、30cm×30cmの鋼板のタンパーを用いて一定の方法で締固めるという

方法をとった。載荷装置は図-2に示すとおり、2本の鋼棒と三角形状にし、一方を試験杭に、一方をまとめて鋼製ワイヤーに接続し、ワイヤー端の重錘によって引張荷重をかける

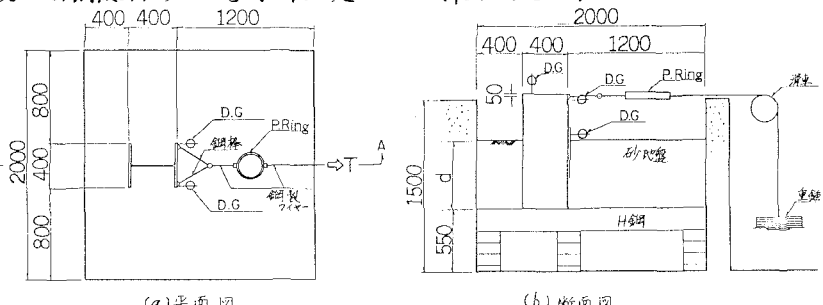
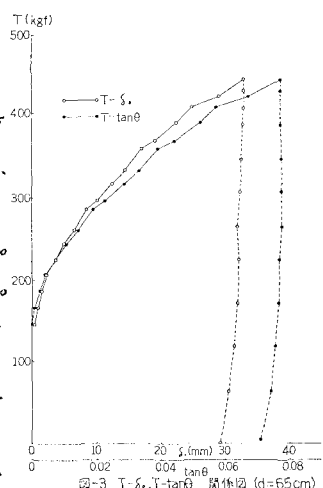


図-2 実験状態図

という方式である。2

本の鋼棒の両端はピン結合によっている。土圧計の較正は、単体での、油圧による較正以外に、次のような検討を行った。即ち、164cm×144cmの平面をもつ土槽の底部中央に、土圧計の面を上にして試験杭を水平に設置して、乾燥砂を搬入することにより土被り荷重、最大0.2kgf/cm²まで較正を行った。その結果、較正曲線はよい直線性を示した。較正係数は油圧によつたものとの差が±10%以下である。今回のデータ整理は油圧による較正係数を用いている。

③. 実験結果および考察 — 実験は杭の埋設深さ(図-2のd)を変えて行った。ここではd=65cmのケースの結果を例示して考察を加える。試験杭はおむね下端を中心回転する挙動を示し、杭頭部の左右の水平変位の差はなく、荷重の作用軸に関して対称運動を示した。図-3に示すとおり、地表面の水平変位s₀は最終段階で3.9cmに達し、試験杭の鉛直面に対する回転角とθとすると、傾斜量tanθは0.065に達した。又、除荷による変形のモドリは微少で



あった。 $\log T \sim \log \delta_0$ の関係(図-4)は $\delta_0 < 0.7 \text{ cm}$ ではゆるい曲線を示しているがそれ以上では勾配約 $1/3$ の直線を示す。代表的荷重段階における杭面中央の土圧強度の鉛直分布を図-5に示す。図中の破線は土被り(rh)の10倍と15倍に相当するものであり、最終荷重段階では土圧係数で $10 \sim 15$ 程度に達したことがある。このケースの地盤の単位体積重量は $1.458 \times 10^3 \text{ kg/cm}^3$ であり、あらかじめ三軸試験とともに求められている単位体積重量と内部摩擦角の関係から $\phi = 35^\circ$ と推定される。 $\phi = 35^\circ$ に対する壁面摩擦角(δ)が 0° と -15° の場合の受動土圧係数はそれぞれ 3.7 と 6.6 である。従って、 $\delta = 0$ であれば受動土圧の $2.7 \sim 4.0$ 倍、 $\delta = -15^\circ$ であれば受動土圧の $1.5 \sim 2.3$ 倍の土圧強度に達していることがわかる。水平変位(δ)と土圧強度の関係を図-6、7によってみる。あきらかに非線形である。 rh の計算のものは当初の土被りととてているが、

載荷に従って杭前面付近の地盤は盛上りおり、実際の土被りよりも大きくなっている。No. 11 の傾向が他の著しく異なるのは、このえいきょうが大きくなっていることが考えられる。

図-7でNo. 11を除いたものについてみると、 P が大きい範囲では $P \propto \delta^{0.5}$ に近いことがわかる。次に土圧強度の平面分布を図-8によってみると、両端に近いところで大きな値を示している。砂地盤の地表面にある剛性基礎の接地面は、中央が大で、端部は小さいという分布とすることが知られているが、この場合とは違った傾向を示す。これは杭側面の砂の存在および杭側面と砂の間の摩擦抵抗に起因して、杭前面の砂の動きに拘束がくわえられることによるものだけはないと思われる。

④. むすび——今回の実験結果から砂地盤における横方向地盤反力の特性に関する若干の知見が得られた。今後さらに一連の実験的研究をすすめてこの問題に関する知見を積み重ねていきたいと考えている。なお、今回の実験の遂行、データ整理は、港湾技術研究所土質部基礎工研究室の富樫浩一、畠田幸晴、桑田政治の三名の方によるものであることを記し、謝意を表する。

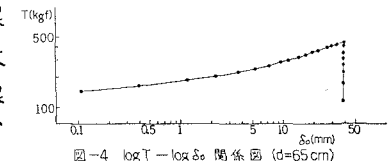


図-4 $\log T - \log \delta_0$ 関係図 ($d=65 \text{ cm}$)

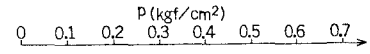


図-5 杭面中央部の土圧鉛直分布 ($d=65 \text{ cm}$)

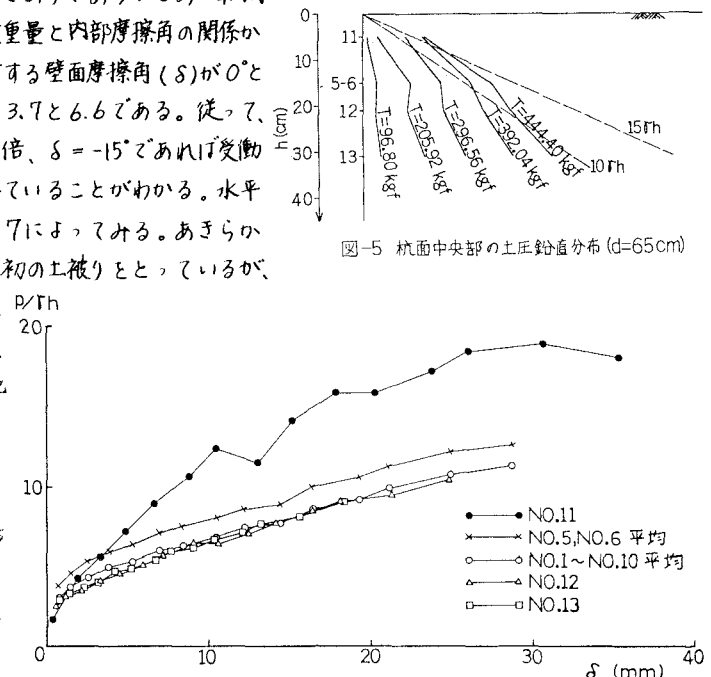


図-6 $P/rh - \delta$ 関係図 ($d=65 \text{ cm}$)

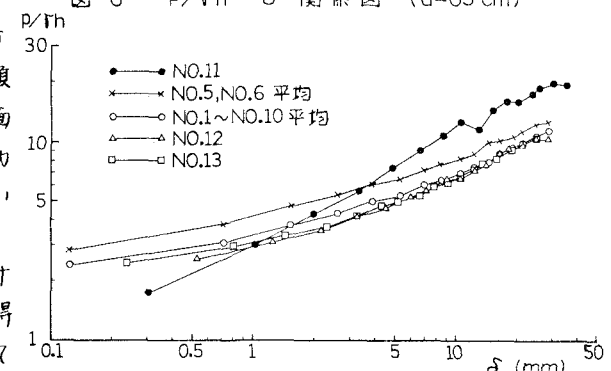


図-7 $\log(P/rh) - \log \delta$ 関係図 ($d=65 \text{ cm}$)

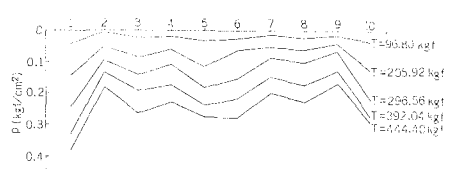


図-8 杭面水平方向の土圧分布 ($d=65 \text{ cm}, h=15 \text{ cm}$)